

μ TRISTAN

-新しいレプトンコライダー実験の提唱-

KEK

高浦大雅

in collaboration with

濱田佑, 北野龍一郎, 松戸竜太郎, 吉田光宏

標準理論の立ち位置

標準理論：多くの現象を説明する正確な有効理論

一方で標準理論の問題点

- ・ ニュートリノ質量
- ・ ダークマター
- ・ $(g-2)_\mu$ アノマリー (?)
- ・ ヒッグス質量のfine-tuning問題

UVの物理は何か？知らない軽いセクターは何か？

新物理への実験的アプローチ

実験的に有用なアプローチ

(i) より高エネルギースケールに

新粒子を直接生成することが可能

(ii) ヒッグス精密測定

ヒッグスとSM粒子の結合は標準理論を仮定すると完全に決まる

→ 標準理論からのズレは新物理

ヒッグスと関係

[電弱対称性の破れの起源
SUSY
右巻きニュートリノ
SM single scalar
⋮

検討中のレプトンコライダー

- ・ ILC, CLIC ($e^+ e^-$ collider)

(建設された場合) ヒッグス精密測定が可能！

- ・ ミューオンコライダー ($\mu^+ \mu^-$ colliders)

1. レプトンコライダーのため精密測定が可能
2. 電子より高エネルギー ($O(\text{TeV})$ or $O(10) \text{ TeV}$) ビームが可能

∴ ミューオン質量が重い分シンクロトロン放射が少ない

精密測定と高エネルギーを同時に実現できる魅力的オプション

ビームの必須条件

コライダー実験のビームは

- ・ ビームを構成する粒子の大量生成
- ・ ビームが絞れている(ビーム粒子の運動量のバラツキが少ない)こと

が必要

コライダー実験での散乱断面積の測定: $\frac{\Delta_{\text{stat.}} \sigma}{\sigma} \propto \frac{1}{\sqrt{N_{\text{event}}}} \propto \frac{1}{\sqrt{\mathcal{L}}}$

ここに

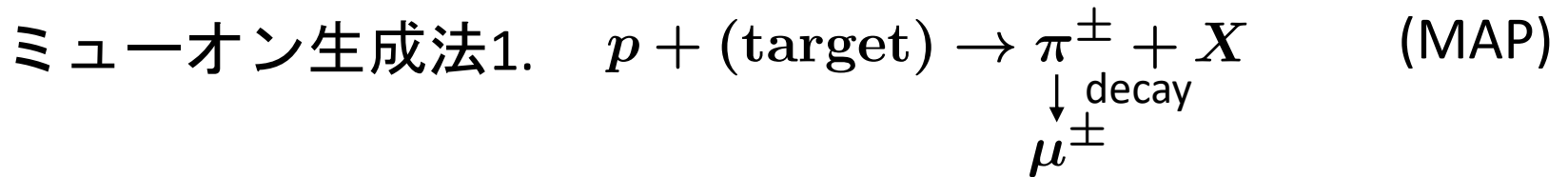
$$\mathcal{L} = \frac{N_{\text{beam1}} N_{\text{beam2}} f_{\text{rep}}}{4\pi\sigma_x\sigma_y}$$

of particles

How frequently collisions occur

Beam size

ミューオンビームの課題



- ・大量のミューオンが作れる
- ・ π^{\pm} の崩壊からできる μ^{\pm} はばらついているため
絞ったビームを実現するには**クーリング**が必要

クーリング技術の進展が必要

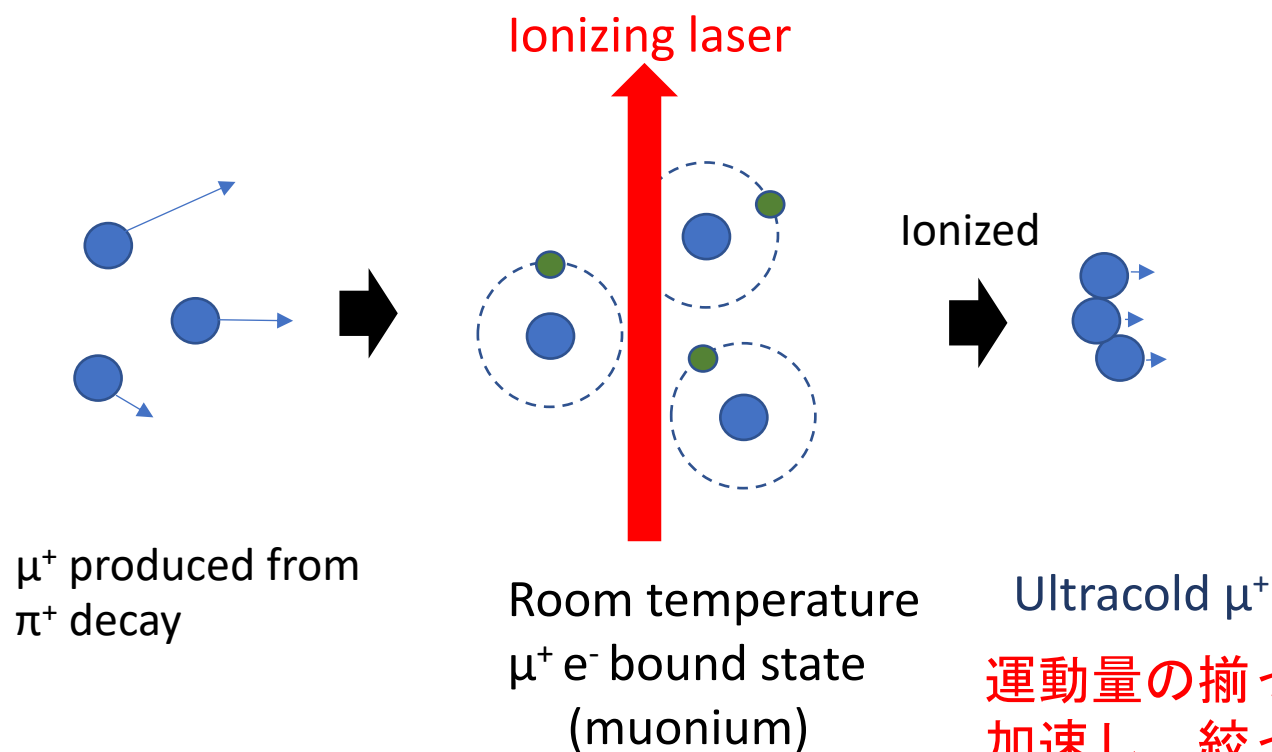


$\mu^{+}\mu^{-}$ のthreshold付近で生成

- ・ μ^{\pm} はほぼ止まってできるためクーリングは不要
- ・ただしthreshold付近のため生成断面積が小さく
大量にミューオンを作るのは難しい

μ^+ のクーリング技術は存在！

μ^+ のクーリング技術： J-PARCでの $(g-2)_\mu$ 実験のキー



運動量の揃ったミュオンを
加速し、絞ったビームを実現

* μ^- に対して同様のことはできない

μ^+ ビームを用いた コライダー実験の提唱

2022 Hamada, Kitano, Matsudo,
Takaura, Yoshida

良質な μ^+ ビームをTeVスケールまで加速しコライダー実験

TRISTAN実験と同じ周長3kmのメインリングを仮定

μ^+e^- collider

$E_{\mu^+} = 1 \text{ TeV}, E_{e^-} = 30 \text{ GeV}$ (電子はTRISTANと同じエネルギー)

$$\rightarrow \sqrt{s} = 346 \text{ GeV}$$

$\mu^+\mu^+$ collider

$E_{\mu^+} = 1 \text{ TeV}, E_{\mu^+} = 1 \text{ TeV}$

$$\rightarrow \sqrt{s} = 2 \text{ TeV}$$

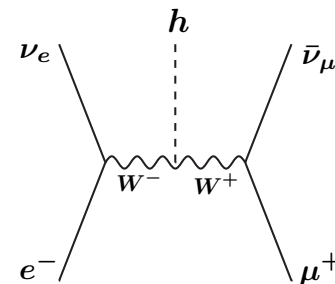
μ TRISTAN!

μ TRISTANで期待されるインパクト

- μ^+e^- collider

$$\mathcal{L}_{\mu^+e^-} = 4.6 \times 10^{33} \text{ cm}^{-2}\text{s}^{-1} \longrightarrow \int \mathcal{L}_{\mu^+e^-} dt = 1.0 \text{ ab}^{-1} \text{ (Ten-year running)}$$

sub percentレベルでのヒッグスカップリング測定
次元6演算子の検出可能性の向上



- $\mu^+\mu^+$ collider

$$\mathcal{L}_{\mu^+\mu^+} = 5.7 \times 10^{32} \text{ cm}^{-2}\text{s}^{-1} \longrightarrow \int \mathcal{L}_{\mu^+e^-} dt = 130 \text{ fb}^{-1}$$

TeVスケールのスカラーレプトン探索

新物理由来のfour-femi相互作用に対する $O(100)$ TeVの制限

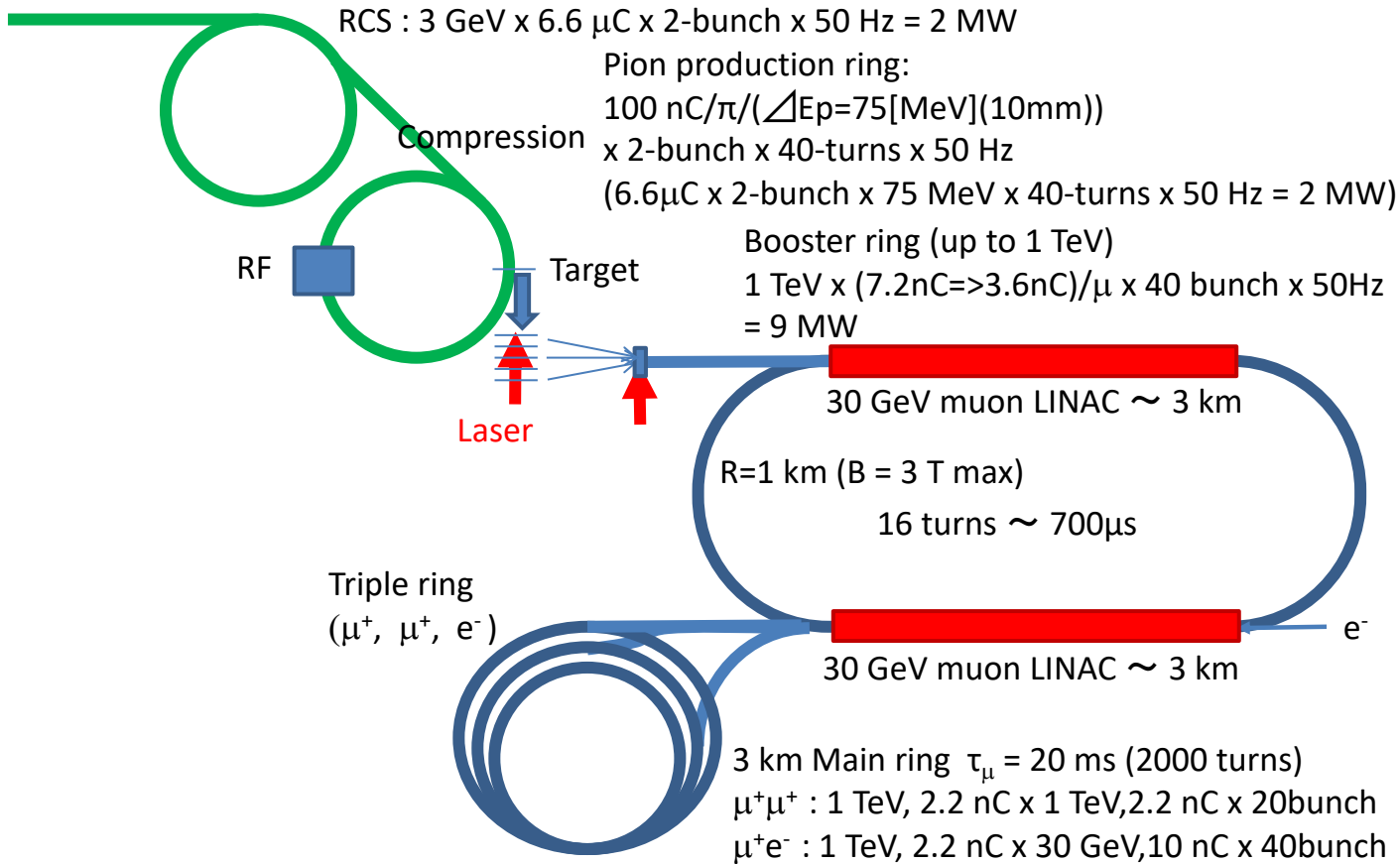
Contents

✓ イントロダクション

- ・ コライダーデザインとルミノシティ
- ・ ヒッグス精密測定
- ・ 新物理探索
- ・ Summary & future prospects

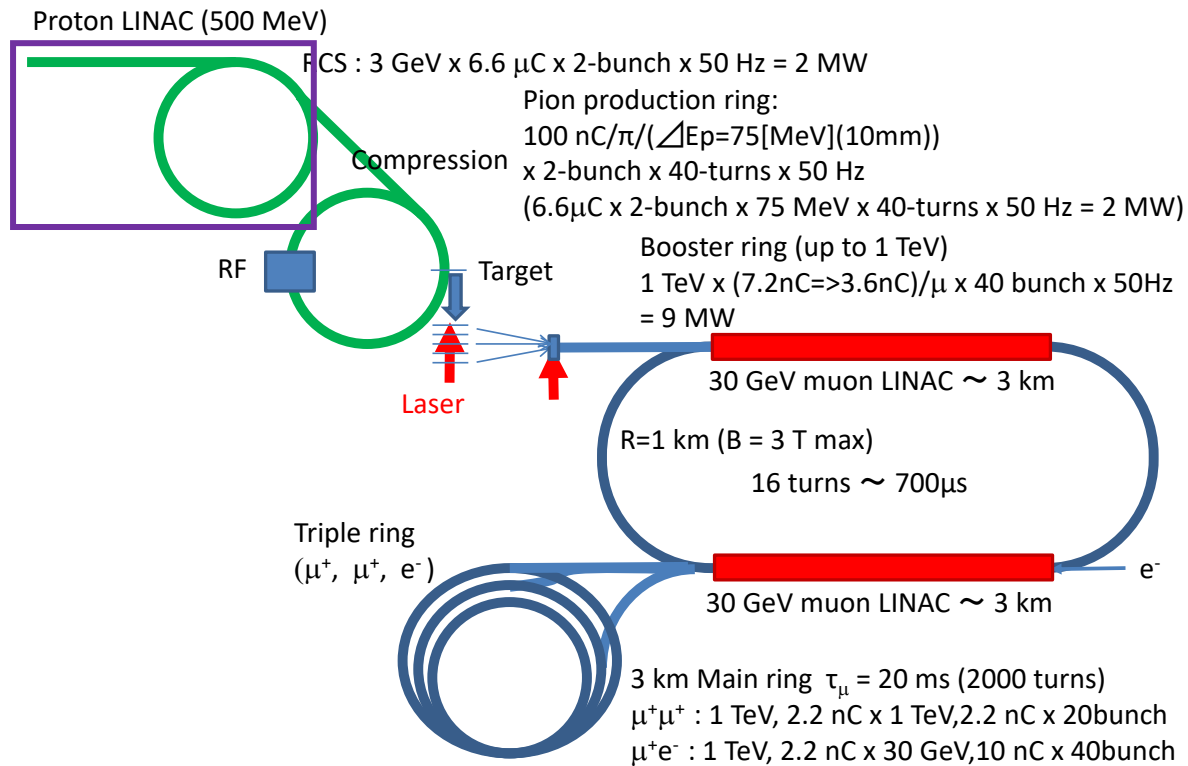
コライダーデザイン

Proton LINAC (500 MeV)

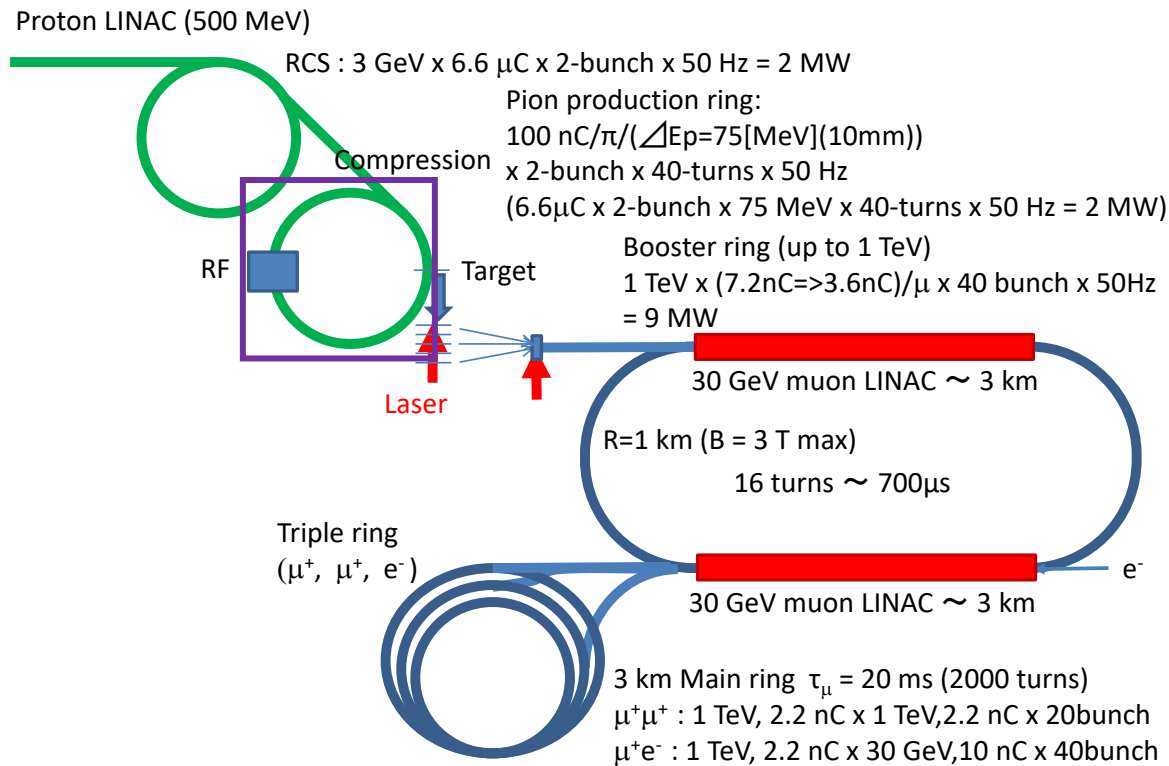


Proton acceleration (Proton LINAC & RCS)

$p(3 \text{ GeV})$



Proton acceleration (Proton LINAC & RCS) \longrightarrow Pion production (Pion production ring)
 $p(3\text{ GeV})$ $p(3\text{ GeV}) + C \rightarrow \pi^+ + X$

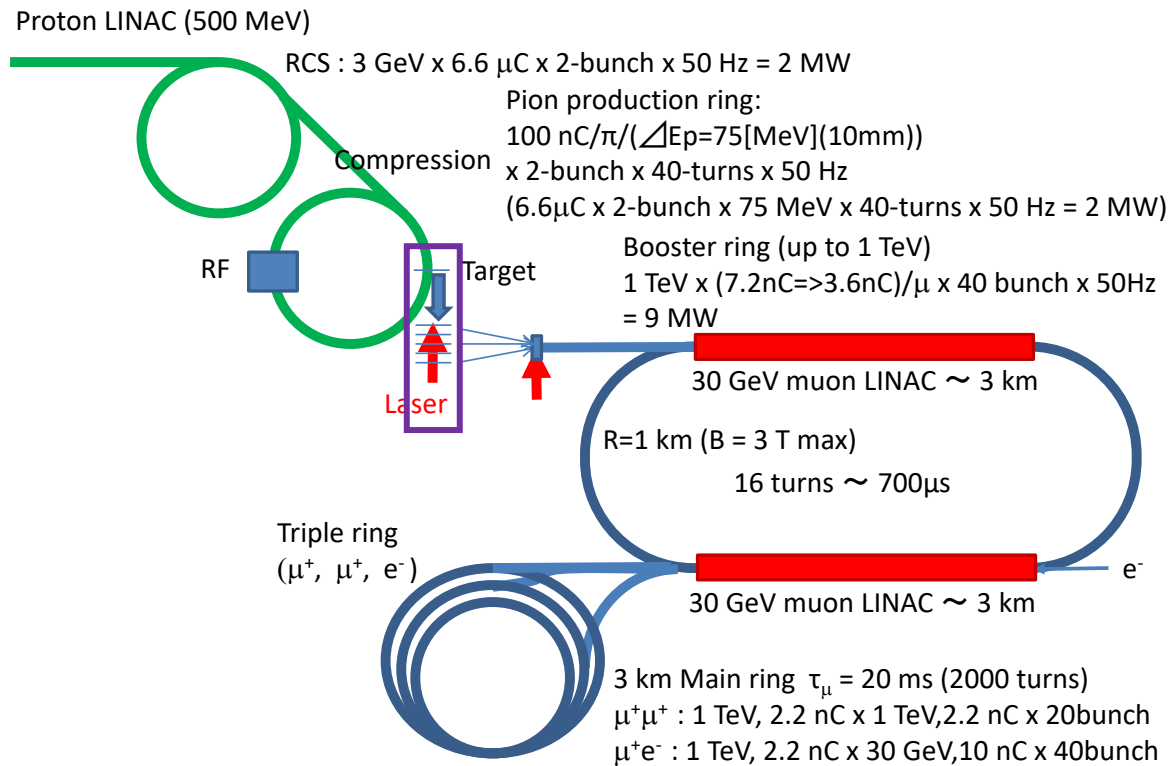
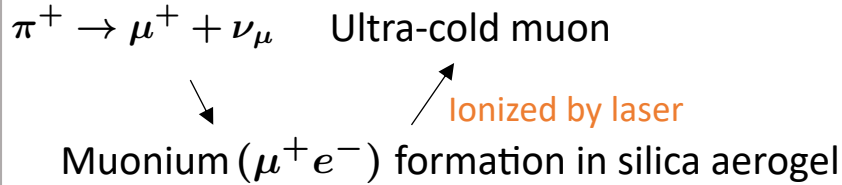


Proton acceleration (Proton LINAC & RCS) \longrightarrow Pion production (Pion production ring)

$p(3 \text{ GeV})$

$p(3 \text{ GeV}) + C \rightarrow \pi^+ + X$

\longrightarrow Ultra-cold muon production



Proton acceleration (Proton LINAC & RCS) → Pion production (Pion production ring)

$$p(3 \text{ GeV})$$

$$p(3 \text{ GeV}) + C \rightarrow \pi^+ + X$$

→ Ultra-cold muon production → Muon acceleration (Booster ring)

$$\pi^+ \rightarrow \mu^+ + \nu_\mu \quad \text{Ultra-cold muon}$$

$$\mu^+ (1 \text{ TeV})$$

↓
 Muonium ($\mu^+ e^-$) formation in silica aerogel
 ↗ Ionized by laser

Proton LINAC (500 MeV)

RCS : 3 GeV x 6.6 μC x 2-bunch x 50 Hz = 2 MW

Pion production ring:

100 nC/ π / ($\Delta E_p = 75 [\text{MeV}] (10\text{mm})$)

x 2-bunch x 40-turns x 50 Hz

(6.6 μC x 2-bunch x 75 MeV x 40-turns x 50 Hz = 2 MW)

Booster ring (up to 1 TeV)

1 TeV x (7.2 nC \Rightarrow 3.6 nC) / μ x 40 bunch x 50 Hz

= 9 MW

RF

Target

Laser

30 GeV muon LINAC \sim 3 km

R=1 km (B = 3 T max)

16 turns \sim 700 μs

Triple ring

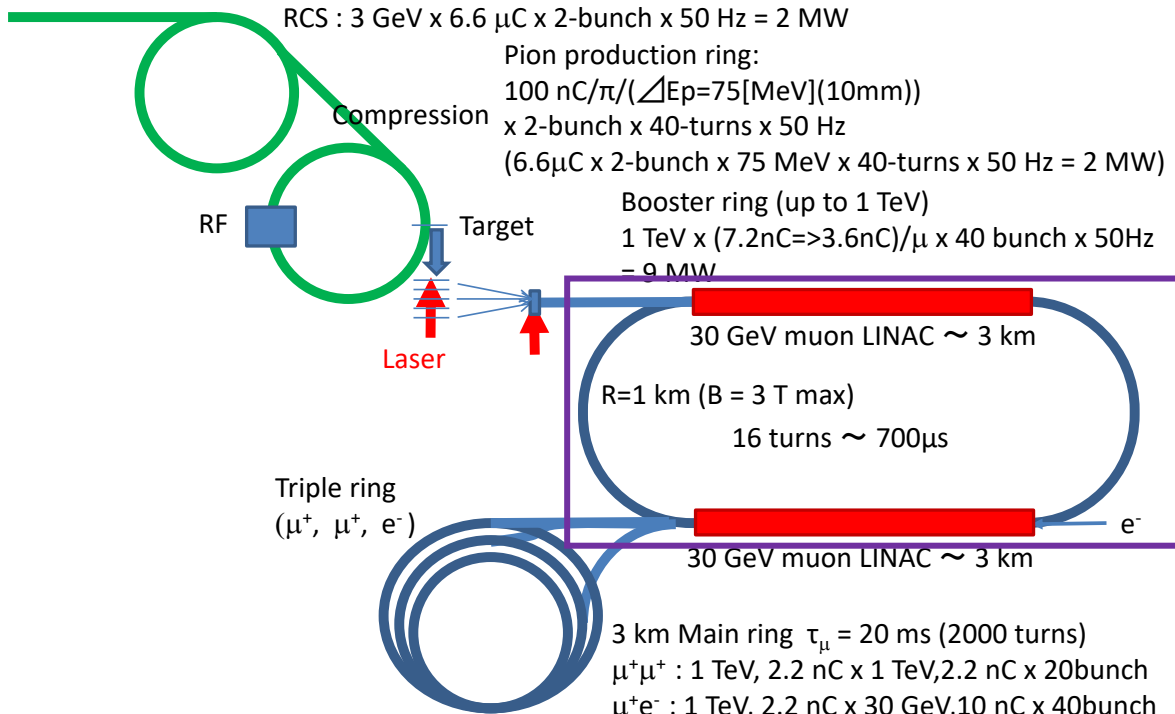
(μ^+ , μ^+ , e^-)

30 GeV muon LINAC \sim 3 km

3 km Main ring $\tau_\mu = 20 \text{ ms}$ (2000 turns)

$\mu^+ \mu^+$: 1 TeV, 2.2 nC x 1 TeV, 2.2 nC x 20 bunch

$\mu^+ e^-$: 1 TeV, 2.2 nC x 30 GeV, 10 nC x 40 bunch



Proton acceleration (Proton LINAC & RCS) → Pion production (Pion production ring)

$$p(3 \text{ GeV})$$

$$p(3 \text{ GeV}) + C \rightarrow \pi^+ + X$$

→ Ultra-cold muon production → Muon acceleration (Booster ring) → Collide (Main ring)

$$\pi^+ \rightarrow \mu^+ + \nu_\mu \quad \text{Ultra-cold muon}$$

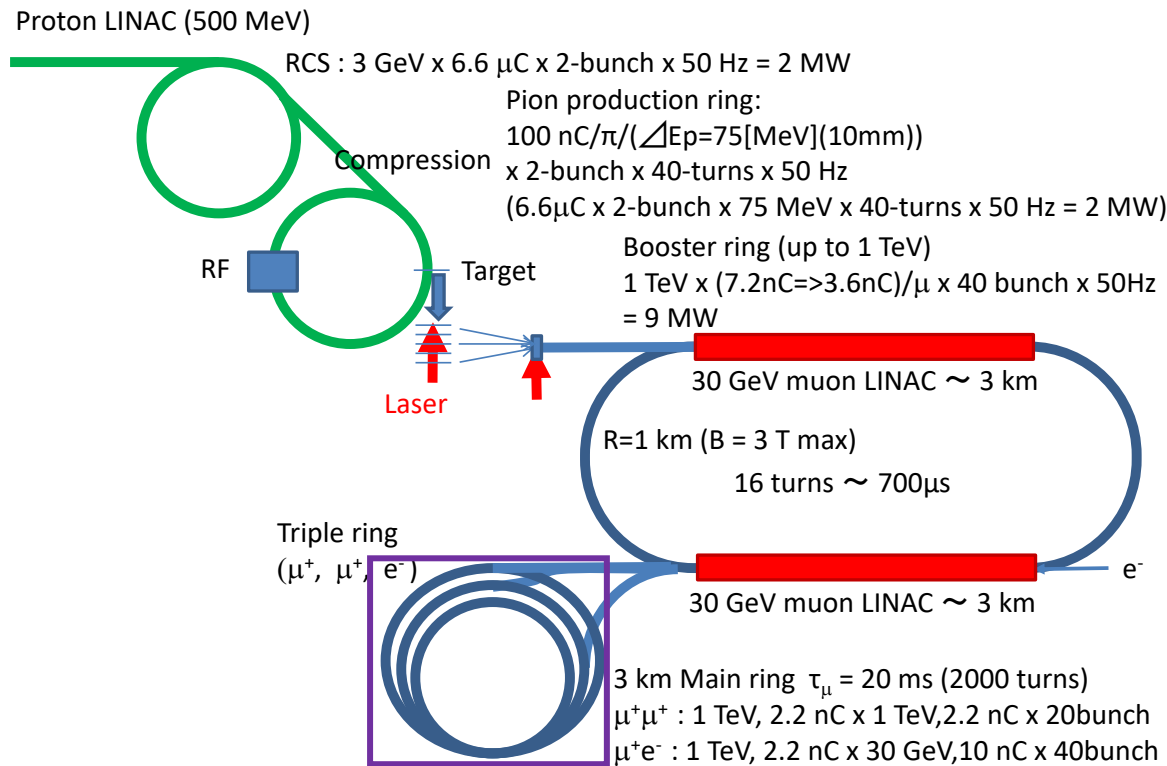
$$\mu^+(1 \text{ TeV})$$

$$[\mu^+(1 \text{ TeV}), e^-(30 \text{ GeV})]$$

or

$$[\mu^+(1 \text{ TeV}), \mu^+(1 \text{ TeV})]$$

↓
 ↑ Ionized by laser
 Muonium ($\mu^+ e^-$) formation in silica aerogel



$$\tau_\mu(1 \text{ TeV}) = 20 \text{ ms}$$

20ms毎に新しい
 ビームを入射

Ultra-cold muonの数

高ルミノシティのためにはultra-coldミューオンの数が重要

$$\mathcal{L} = \frac{N_{\text{beam1}} N_{\text{beam2}}}{4\pi\sigma_x\sigma_y} f_{\text{rep}}$$

Proton: $N_{\text{proton}} = 4.1 \times 10^{13} / \text{bunch} \times 2$ (bunches)

π^+ : $N_{\pi^+} = N_{\text{proton}} \times 0.016 \times 80$ (bunches)

Production rate 40 turns
(p+C→ π^+ +X)

Ultra-cold muons (ビームに使えるもの):

$N_{\mu^+} = N_{\pi^+} \times 0.034 \times 2 \times 40$ (bunches)
Collection efficiency

Proton LINAC (500 MeV)

RCS : 3 GeV x 6.6 μ C x 2-bunch x 50 Hz = 2 MW

Pion production ring:

100 nC/ π /($\Delta E_p=75$ [MeV](10mm))

x 2-bunch x 40-turns x 50 Hz

(6.6 μ C x 2-bunch x 75 MeV x 40-turns x 50 Hz = 2 MW)

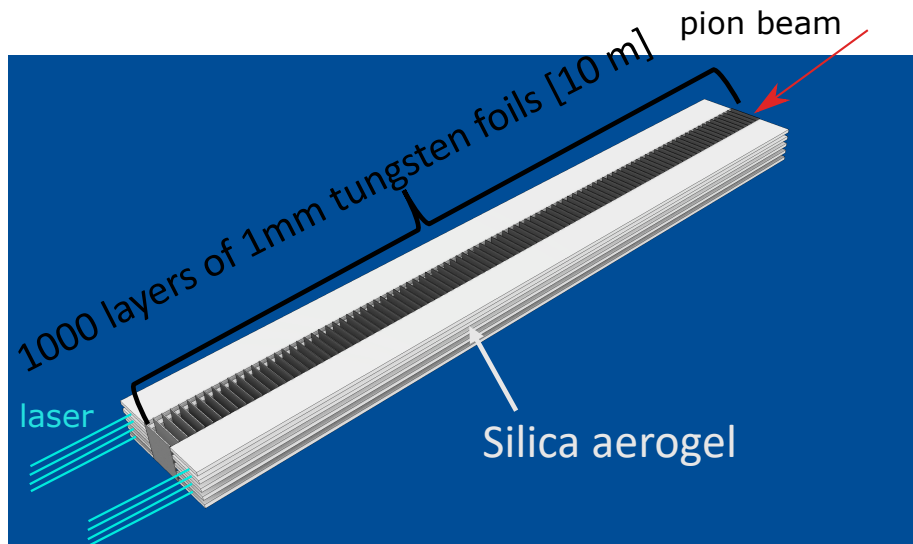
RF

Compression

Target

2nd aerogel target

Laser



1. π^+ がターゲットで止められ
 μ^+ に崩壊

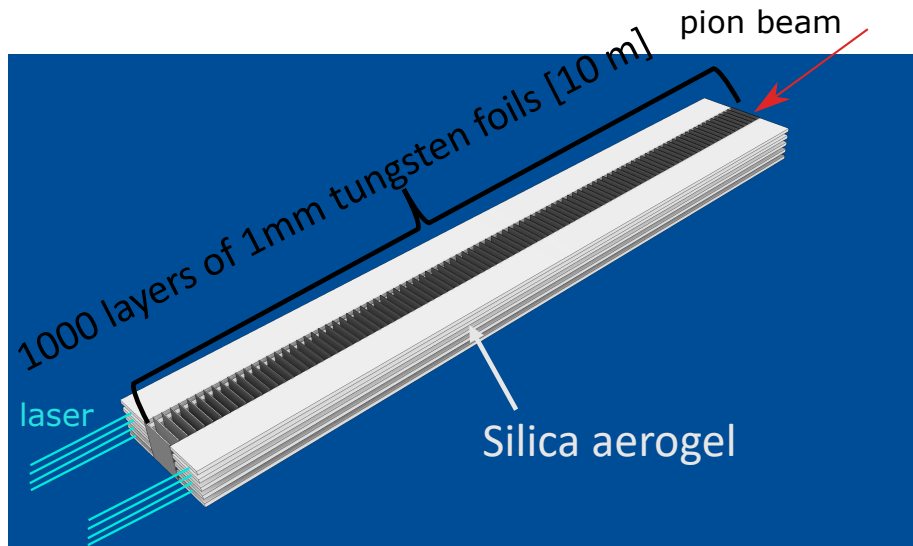
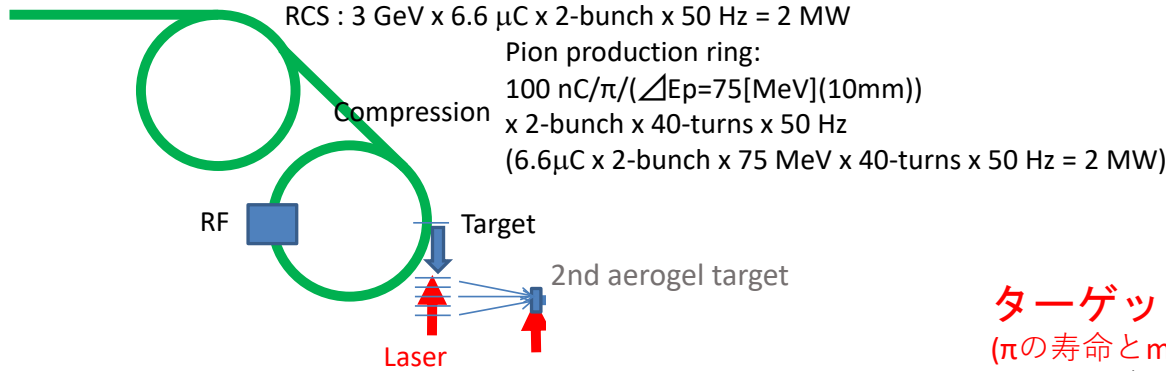
2. μ^+ がシリカエアロジェルに
運ばれミュオニウム形成
($\mu^+ e^-$ bound state).

3. 熱的に飛び出してきた
ミュオニウムをレーザーで
イオン化

10mに広がったミュオンは数センチの2番目のターゲットに移送

We thank Takayuki Yamazaki, Cedric Zhang, and Shusei Kamioka.

Proton LINAC (500 MeV)



ターゲットへ輸送される π^+ : 50 %
(π の寿命とmaterialとの相互作用による喪失)

1. π^+ がターゲットで止められ
 μ^+ に崩壊

2. μ^+ がシリカエアロジェルに
運ばれミュオニウム形成
($\mu^+ e^-$ bound state).

ミュオニウム形成: 52 %

3. 熱的に飛び出してきた
ミュオニウムをレーザーで
イオン化

ミュオニウムの放出: 60 %

崩壊せずに残るミュオニウム: 60%

レーザーによるイオン化効率: 73 %

10mに広がったミュオンは数センチの2番目のターゲットに移送
efficiency: 50 % *薄いターゲットを使用

トータル効率=3.4 %

Integrated luminosity

Duty factor 70 %で10年間走らせると

$$\int \mathcal{L}_{\mu^+ e^-} dt = 1.0 \text{ ab}^{-1}$$

$$\int \mathcal{L}_{\mu^+ \mu^+} dt = 120 \text{ fb}^{-1}$$

Magnet

10 Tの磁石が使えると仮定

cf. High-luminosity LHC: 11 T

$$\longrightarrow (E_{\mu^+}, E_{e^-}) = (1 \text{ TeV}, 30 \text{ GeV})$$

$$(E_{\mu^+}, E_{\mu^+}) = (1 \text{ TeV}, 1 \text{ TeV})$$

を3 kmのメインリングで実現

Upgrade energy $E_{\mu^+} = 3 \text{ TeV}$ では9 kmのメインリング

仮に16 Tの磁石が使えるとすると

$E_{\mu^+} = 3 \text{ TeV}$ に対してメインリング6 km

Polarization

Polarization:

散乱断面積の増大や多くの物理的情報を引き出すのに有用

我々の仮定

$P_{e^-} = \pm 0.7$ ← SuperKEKBでの目標値

$P_{\mu^+} = \pm 0.8$ ← ビームの絞りと両立するかなどの検討が必要
(悪くても $P_{\mu^+} = \pm 0.25$ は可能)

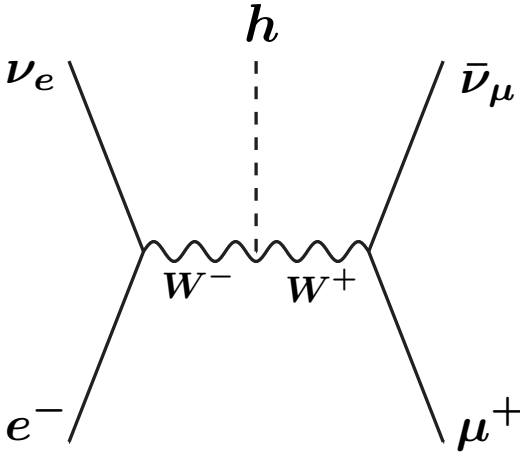
Contents

- ✓ イントロダクション
- ✓ コライダーデザインとルミノシティ
 - ・ ヒッグス精密測定
 - ・ 新物理探索
 - ・ Summary & future prospects

ヒッグス生成

$e^- \mu^+$ コライダー $\sqrt{s} = 346 \text{ GeV}$ & $(P_{\mu^+}, P_{e^-}) = (0.8, -0.7)$

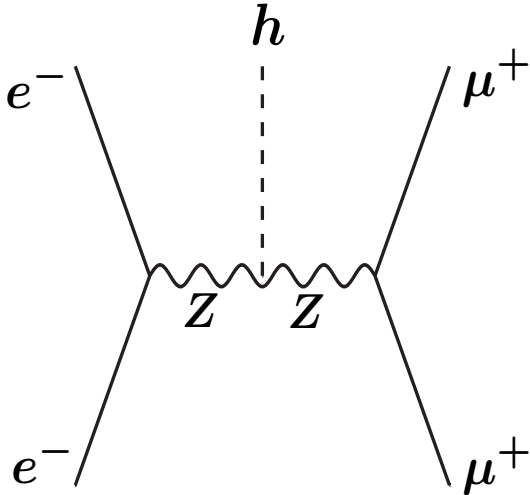
W boson fusion (WBF)



生成機構:

$$\sigma_{\text{WBF}} \approx 91 \text{ fb}$$

Z boson fusion (ZBF)



$$\sigma_{\text{ZBF}} \approx 4 \text{ fb}$$

積分ルミノシティ: $\int \mathcal{L}_{\mu^+ e^-} dt = 1.0 \text{ ab}^{-1}$

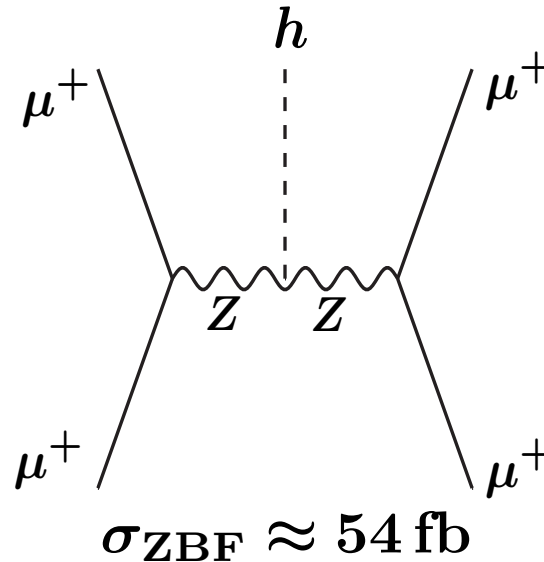
ヒッグスの生成数: 9.5×10^4

ヒッグス生成

$\mu^+ \mu^+$ コライダー

$$\sqrt{s} = 2 \text{ TeV} \quad \& \quad (P_{\mu^+}, P_{\mu^+}) = (0.8, 0.8)$$

Z boson fusion (ZBF)



生成機構:

積分ミノシティ: $\int \mathcal{L}_{\mu^+ e^-} dt = 120 \text{ fb}^{-1}$

ヒッグスの生成数: 6.5×10^3 ヒッグス生成は $e^- \mu^+$ が優る

メインチャンネルでの カップリング測定

$e^- \mu^+$ での支配的プロセス=WBF

hは主に **$b\bar{b}$** へ崩壊

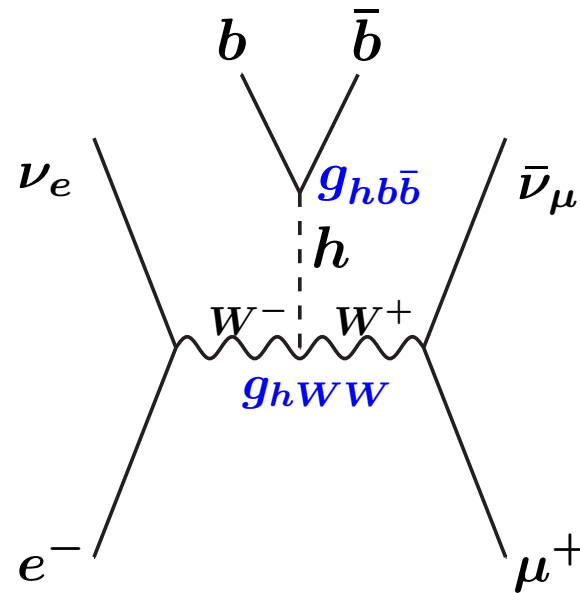
(Branching ratio 58.2 % in SM)

$$\sigma_{\text{SM}} = \sigma_{\text{WBF}}^{\text{SM}} \frac{\Gamma_{H \rightarrow b\bar{b}}^{\text{SM}}}{\Gamma_H^{\text{SM}}}$$

BSMでは

$$\longrightarrow \sigma = \frac{\kappa_W^2 \kappa_b^2}{\kappa_H^2} \sigma_{\text{SM}}$$

$$\kappa_W = 1 + \Delta\kappa_W \text{ etc.}$$



$$g_{hWW} = \kappa_W g_{hWW}^{\text{SM}}$$

$$g_{hb\bar{b}} = \kappa_b g_{hb\bar{b}}^{\text{SM}}$$

$$\Gamma_H = \kappa_H^2 \Gamma_H^{\text{SM}}$$

メインチャンネルでの カップリング測定

$$\sigma = \frac{\kappa_W^2 \kappa_b^2}{\kappa_H^2} \sigma_{\text{SM}}$$

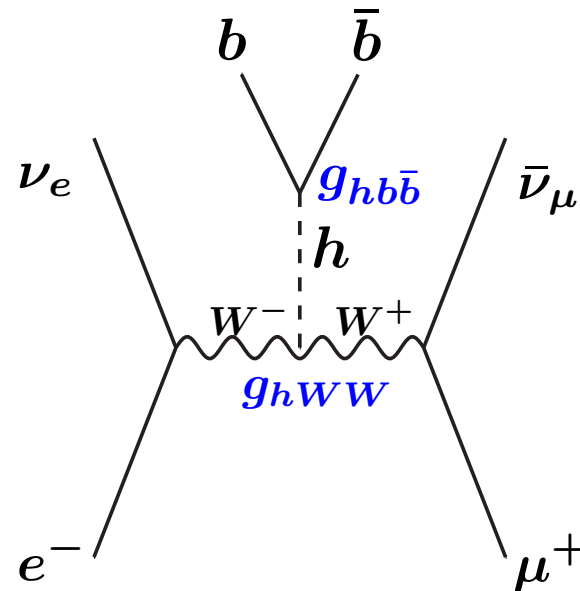
$$\kappa_W = 1 + \Delta\kappa_W \text{ etc.}$$

得られる制限

$$|\Delta\kappa_W + \Delta\kappa_b - \Delta\kappa_H|$$

$$\lesssim \frac{1}{2} \frac{\Delta_{\text{stat}} \sigma}{\sigma} \approx \frac{1}{2} \frac{1}{\sqrt{N(\text{WBF}) \times \text{Br} \times \text{efficiency}}}$$

$$= 3.1 \times 10^{-3} \times \left(\frac{\text{integrated luminosity}}{1.0 \text{ ab}^{-1}} \right)^{-1/2} \left(\frac{\text{efficiency}}{0.5} \right)^{-1/2}$$



Sub per-cent measurement *統計エラーのみ考慮

検出効率

- Kinematics

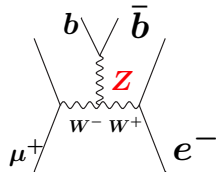
非対称エネルギー (E_{μ^+}, E_{e^-}) = (1 TeV, 30 GeV) のため
終状態粒子は小角度に飛びやすい
(ヒッグスのピークは5° 程度)

→ 小角度まで取れる検出器が望ましい

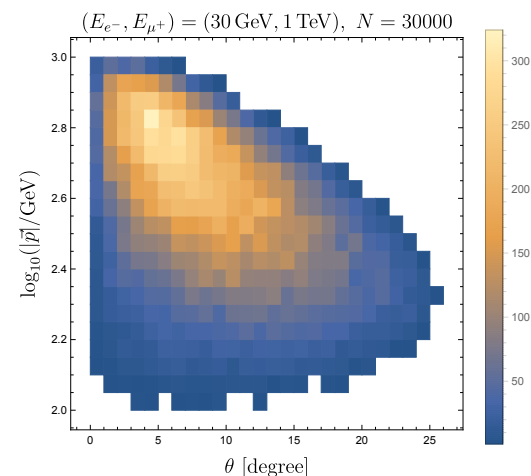
- Background

特殊な量子数 ($N_e = 1, N_\mu = -1$) のため
background processの種類は少ない

主なものは

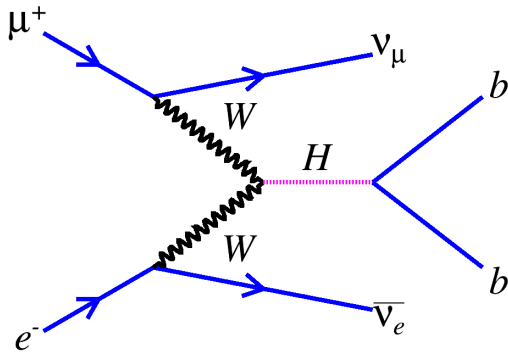


現在北さん(筑波大)、中村さん(KEK)と共同研究中



WBF Higgs

Signal

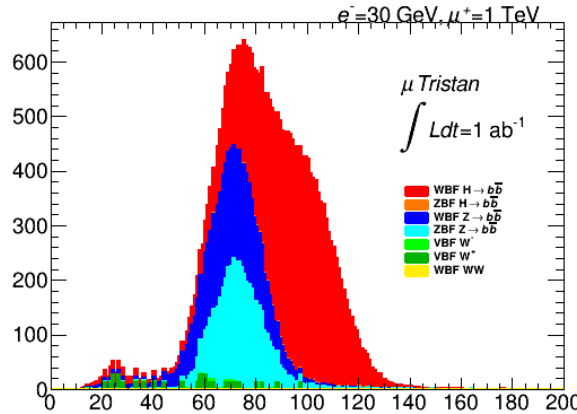


Event selection

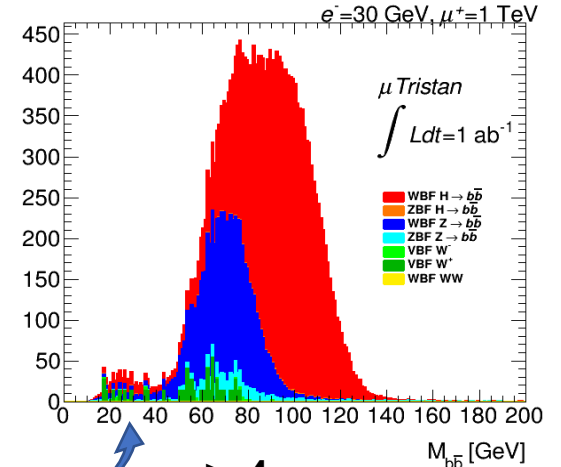
1. No muon
2. No electron
3. bjet x 2

acceptance : ~23%

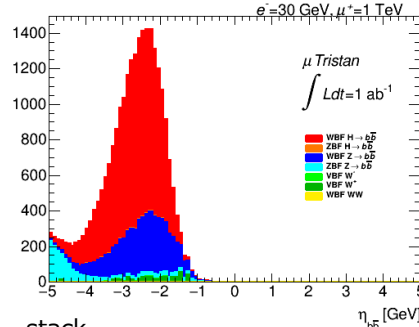
M_{bb} (カット無)



M_{bb} ($\eta_{bb} > -4$)

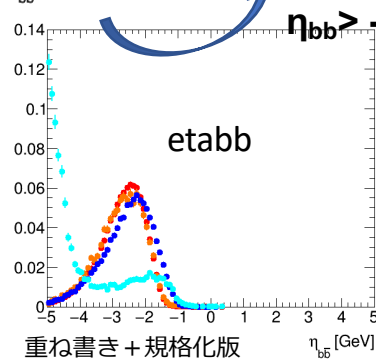


η_{bb}



stack
版

M_{bb} [GeV]



$\eta_{bb} > -4$

etabb

Mbb

Results are preliminary

$$|\Delta\kappa_W + \Delta\kappa_b - \Delta\kappa_H| = 4.6 \times 10^{-3}$$

Contents

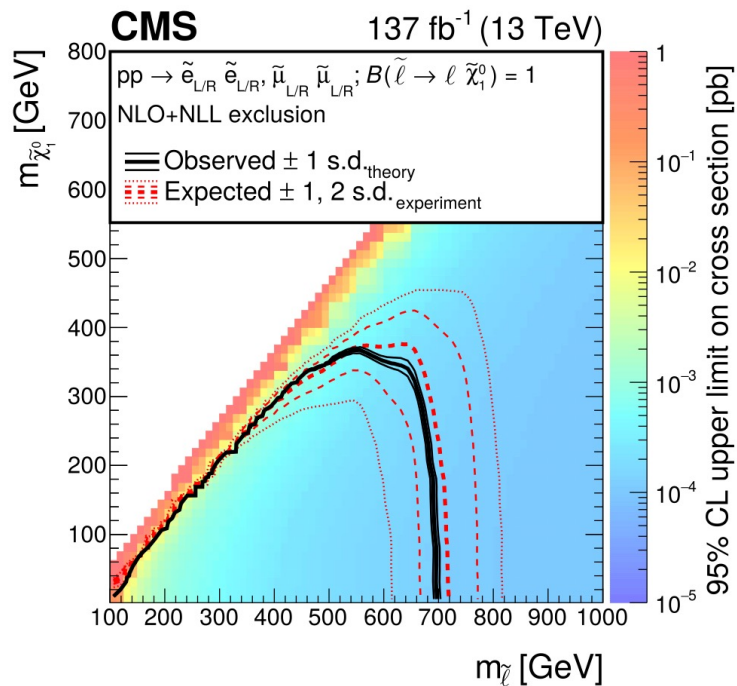
- ✓ イントロダクション
- ✓ コライダーデザインとルミノシティ
- ✓ ヒッグス精密測定
 - ・ 新物理探索
 - ・ Summary & future prospects

SUSY

Supersymmetry

SUSY: SMの複数の問題を解決し得る新物理の候補

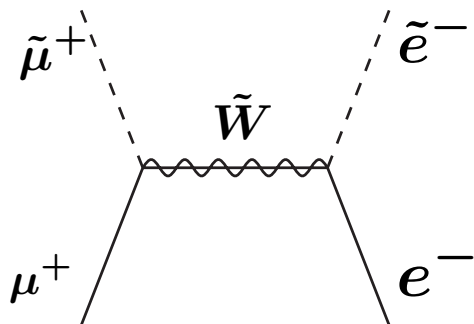
2012.08600 Current scalar lepton search at LHC



$m_{\tilde{\ell}} \lesssim 700 \text{ GeV}$ まで棄却
(neutralinoとsleptonの質量が
近い領域は探れない)

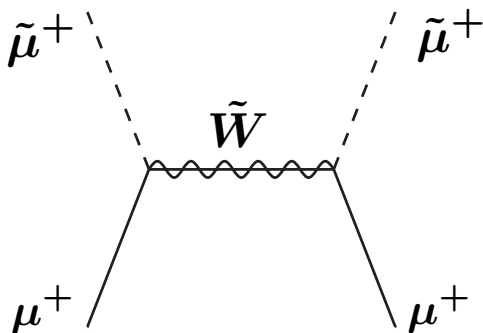
μ TRISTANでの スカラーレプトン生成

- μ^+e^- collider



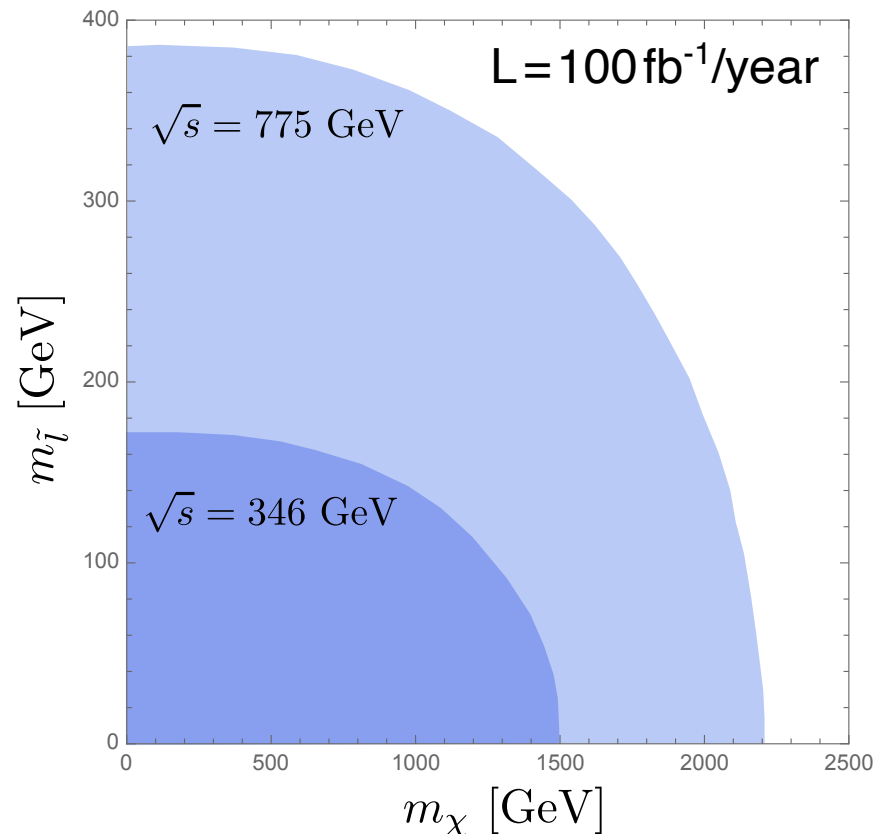
簡単のためWino \tilde{W} を交換する
ダイアグラムのみ考える
superpartner of $SU(2)_L$ gauge boson

- $\mu^+\mu^+$ collider



$\mu^+ e^-$ コライダーでの制限

イベント数が100/年を超えるmass parameter領域

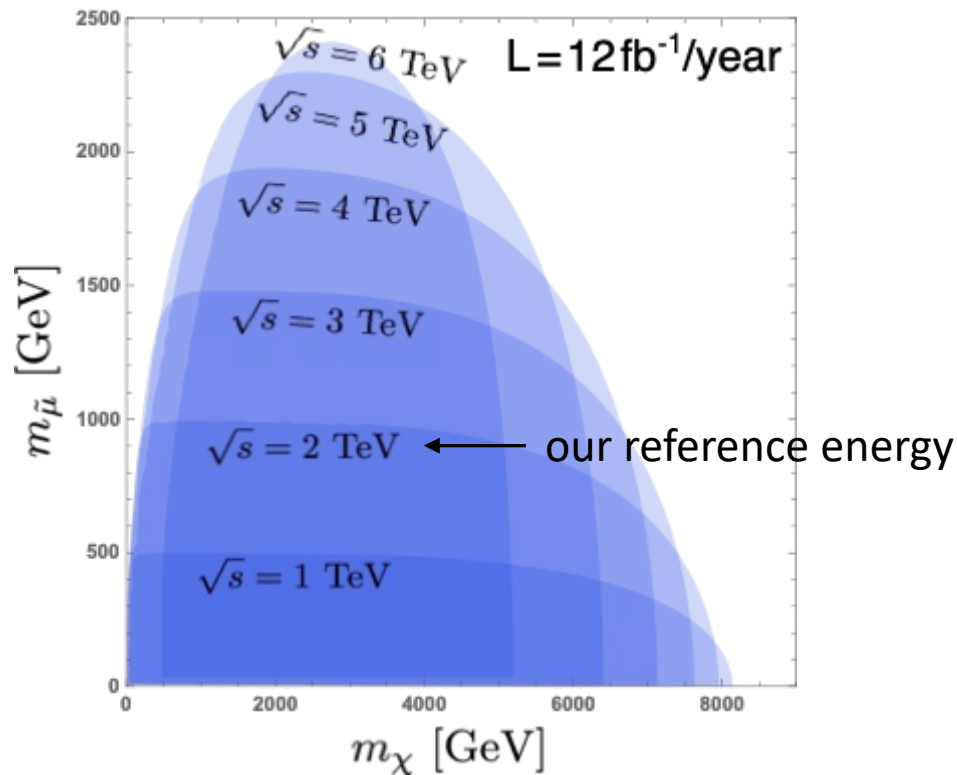


$m_{\tilde{e}} = m_{\tilde{\mu}}$ assumed

高エネルギーに届かないがLHCと違う領域をカバーする可能性

$\mu^+\mu^+$ コライダーでの制限

イベント数が100/年を超えるmass parameter領域



$m_{\tilde{\mu}} \lesssim 1$ TeV が検出可能

muon g-2 アノマリーの説明でfavorされる領域

SMEFT

Hamada, Matsudo, Kitano, Takaura on going

SMEFT analysis

新物理スケールがSMスケールより十分重いと仮定した場合
新物理効果は次元6演算子として現れる

→ **SMEFT** : 重い新物理を調べる一般的手法

μ TRISTANでの最も支配的な散乱過程を通じて
次元6演算子に制限をかける

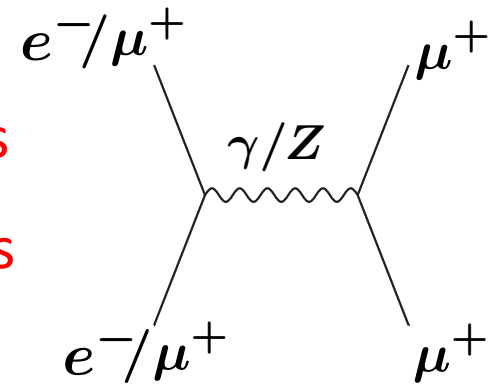
$$\cdot e^- \mu^+ \rightarrow e^- \mu^+$$

$O(10^6)$ events

$$\cdot \mu^+ \mu^+ \rightarrow \mu^+ \mu^+$$

$O(10^6)$ events

イベントが大量なため強い制限が期待



次元6演算子

Adopt basis of
2013 Alonso, Jenkins, Manohar, Trott

散乱実験で測れる演算子

$$Q_{HWB} = H^\dagger \tau^I H W_{\mu\nu}^I B^{\mu\nu} \quad \longleftarrow S\text{パラメータ}$$

$$Q_{HD} = (H^\dagger D_\mu H)^* (H^\dagger D_\mu H) \quad \longleftarrow T\text{パラメータ}$$

$$Q_{H\ell}^{(1)} = (H^\dagger i \overleftrightarrow{D}_\mu H) (\bar{L} \gamma^\mu L)$$

$$Q_{H\ell}^{(3)} = (H^\dagger i \overleftrightarrow{D}_\mu^I H) (\bar{L} \tau^I \gamma^\mu L)$$

$$Q_{H\mu} = (H^\dagger i \overleftrightarrow{D}_\mu H) (\bar{\mu} \gamma^\mu P_+ \mu)$$

$$Q_{ll}^{prst} = (\bar{l}_p \gamma_\mu l_r) (\bar{l}_s \gamma^\mu l_t)$$

$$Q_{le}^{prst} = (\bar{l}_p \gamma_\mu l_r) (\bar{e}_s \gamma^\mu e_t)$$

$$Q_{ee}^{prst} = (\bar{e}_p \gamma_\mu e_r) (\bar{e}_s \gamma^\mu e_t)$$

Scattering

$$\mathcal{L} = \mathcal{L}_{\text{SM}} + \sum_X C_X Q_X$$

$$\sigma = \underbrace{\sigma_{\text{SM}}}_{\text{Tree}} + \underbrace{\sigma_{\text{NP}}}_{\text{Linear in } C_X}$$

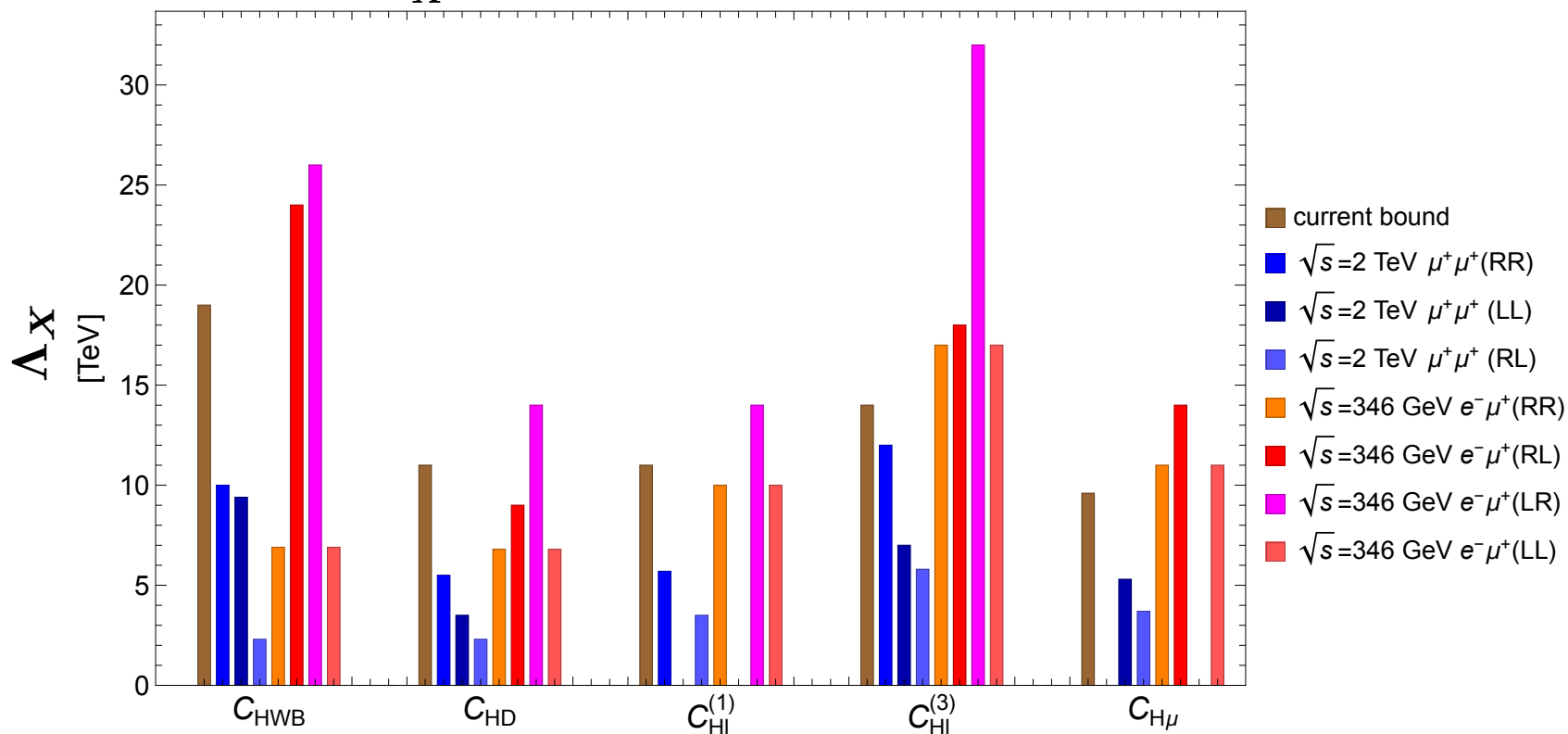
$$\chi^2 = \sum_{i:\text{bin}} \left(\frac{\sigma_{\text{obs},i} - \sigma_{\text{th},i}}{\Delta\sigma_{\text{obs},i}} \right)^2$$

2 σ の制限を課す

得られる制限

$$C_X = \frac{1}{\Lambda_X^2}$$

Current bound from 2204.05260 by Bagnaschi et al.



現在の制限をimprove

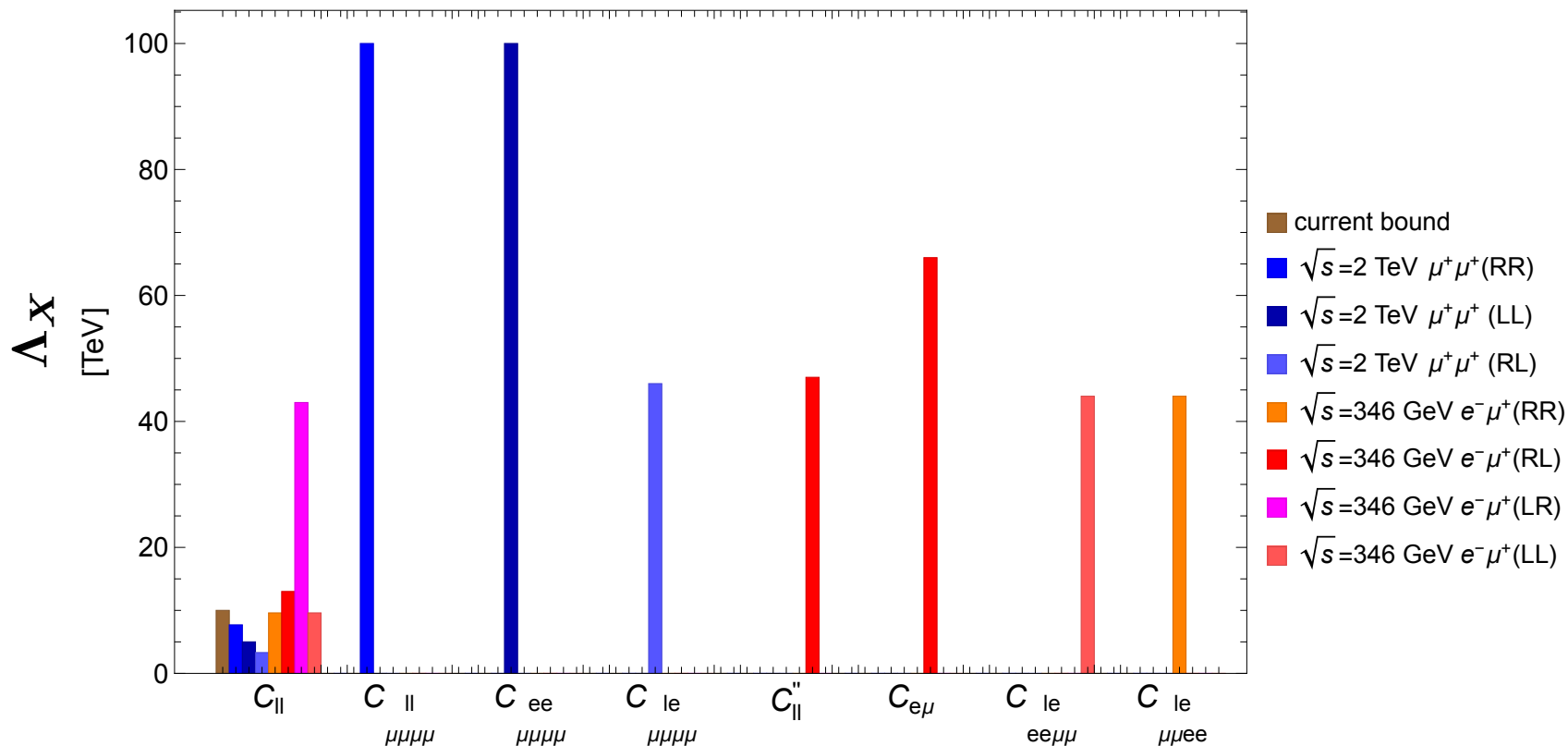
*ここでは簡単のため

$P_{\mu^+} = P_{e^-} = \pm 1$ にセット

得られる制限

$$C_X = \frac{1}{\Lambda_X^2}$$

Current bound from 2204.05260 by Bagnaschi et al.



100 TeV程度まで検知!

*ここでは簡単のため

$P_{\mu^+} = P_{e^-} = \pm 1$ にセット

W boson mass アノマリー

最近CDFがW massのSM予言からのズレを報告

$$m_W = 80433.5 \pm 9.4 \text{ MeV} \quad (\text{CDF})$$

$$m_{W,\text{SM}} = 80354 \pm 7 \text{ MeV} \quad (\text{SM})$$

In SMEFT

$$m_W^2 = m_{W,\text{SM}}^2 \left[1 - \frac{1}{2} \frac{\cos^2 \theta_{\text{SM}}}{\cos^2 \theta_{\text{SM}} - \sin^2 \theta_{\text{SM}}} v_{\text{SM}}^2 C_{HD} - \frac{\sin^2 \theta_{\text{SM}}}{\cos^2 \theta_{\text{SM}} - \sin^2 \theta_{\text{SM}}} v_{\text{SM}}^2 \left(2C_{He}^{(3)} - C_{\ell\ell} \right) - \frac{2 \cos \theta_{\text{SM}} \sin \theta_{\text{SM}}}{\cos^2 \theta_{\text{SM}} - \sin^2 \theta_{\text{SM}}} v_{\text{SM}}^2 C_{HWB} \right]$$

C_{HD} でズレの説明が可能

2204.05260 by Bagnaschi et al.

$$C_{HD} = -[0.035, 0.019]/(\text{TeV}^2)$$

$\mu\text{TRISTAN}$ で期待されるエラー改善 $\delta C_{HD} = 0.005/(\text{TeV}^2)$

Summary

- ・ ミューオンビームを使ったコライダー実験は
高精度・高エネルギーを同時に実現できる魅力的オプション
- ・ 我々は現在の技術でクーリング可能な μ^+ ビームを用いた
実現性の高いコライダー実験を提唱 (μ TRISITAN)

μ^+e^- コライダー

$$\mathcal{L}_{\mu^+e^-} = 4.6 \times 10^{33} \text{ cm}^{-2}\text{s}^{-1}$$

Sub percentレベルでのヒッグス精密測定

SMEFTを通じての新物理探索の向上

$\mu^+\mu^+$ コライダー

$$\mathcal{L}_{\mu^+\mu^+} = 5.7 \times 10^{32} \text{ cm}^{-2}\text{s}^{-1}$$

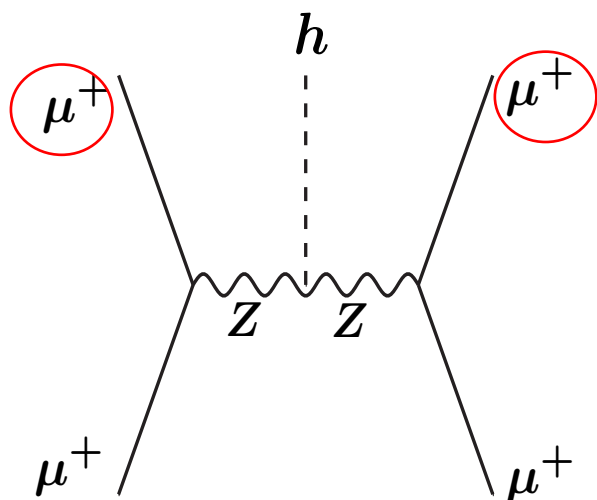
TeVスケールのスカラーレプトン探索

Four-fermion演算子の100 TeVまでの検出可能性

Future prospects

ルミノシティ・コライダーデザインの改善が可能か

$\mathcal{L}_{\mu^+\mu^+}$ が向上した場合



Recoil energyの解析でヒッグスの崩壊先を見ずにヒッグス生成が分かる

- ・ 個別のカップリング測定
- ・ ヒッグス崩壊幅の測定

がより容易・高精度になると期待

Future prospects

μTRISTANで探れるか？

- Higgs triple coupling
- Dark matter
- top mass
- W boson mass

